

01; 04  
©1992 г.

## АНАЛИТИЧЕСКОЕ РЕШЕНИЕ СИСТЕМЫ МГД УРАВНЕНИЙ В КВАЗИОДНОМЕРНОМ ПРИБЛИЖЕНИИ ДЛЯ РЕЖИМОВ С МОНОТОННЫМ ИЗМЕНЕНИЕМ ПАРАМЕТРОВ ТЕЧЕНИЯ ПО ДЛИНЕ КАНАЛА. I

*Е.Г.Шейкин*

Предложен новый подход к решению системы МГД уравнений в квазиодномерном приближении, позволивший получить общее аналитическое решение, учитывающее зависимость  $\sigma$  и  $c_p$  от температуры и давления для режимов течения с монотонно изменяющимися параметрами течения по длине МГД канала. Частным случаем полученного решения являются распространенные режимы течения  $p = \text{const}$ ,  $T = \text{const}$ ,  $\rho = \text{const}$ ,  $v = \text{const}$ ,  $M = \text{const}$ . Проведен анализ полученного общего решения.

Для описания течений в каналах МГД генераторов часто и успешно применяется квазиодномерное приближение (см., например, [1,2]). Ценность такого приближения очевидна и заключается в относительной простоте алгоритма расчета изменения параметров течения по длине МГД канала. Но при всей простоте приближения, за исключением нескольких частных случаев, для расчета параметров потока в канале проводится численное интегрирование системы дифференциальных уравнений. Это не только снижает наглядность полученных результатов, но и существенно затрудняет расчет и комплексный анализ комбинированных газодинамических систем, включающих в себя как составную часть МГД систему. Получение аналитического решения системы МГД уравнений в квазиодномерном приближении для широкого диапазона изменения параметров течения значительно облегчит расчет и анализ ранее упомянутых комбинированных систем и позволит разработать несложные алгоритмы оценки параметров подсистем, оптимизирующих целевую функцию системы.

Рассмотрим течение невязкого нетеплопроводного газа. Квазиодномерная модель течения в безындукционном приближении описывается следующей системой уравнений [1]:

$$\rho v F = \text{const}, \quad (1)$$

$$\rho v \frac{dv}{dx} + \frac{dp}{dx} = (\mathbf{j} \times \mathbf{B})_x, \quad (2)$$

$$\rho v \frac{d}{dx} \left( h + \frac{v^2}{2} \right) = \mathbf{j} \cdot \mathbf{E}, \quad (3)$$

$$p = R\rho T, \quad (4)$$

где  $\rho$  — плотность ионизованного газа,  $p$  — статическое давление,  $T$  — статическая температура,  $v$  — скорость течения,  $F$  — площадь поперечного сечения канала,  $h$  — энтальпия,  $j$  — плотность тока,  $B$  — магнитная индукция,  $E$  — напряженность электрического поля,  $R$  — газовая постоянная,  $x$  — текущая координата.

Для фарадеевского МГД канала с секционированными электродами справедливо [1]

$$(\mathbf{j} \times \mathbf{B})_x = -(1 - k)\sigma B^2 v, \quad (5)$$

$$\mathbf{j} \cdot \mathbf{E} = -k(1 - k)\sigma B^2 v^2, \quad (6)$$

где  $\sigma$  — проводимость ионизованного газа;  $k = E/vB$  — коэффициент нагрузки ( $k < 1$  соответствует МГД генератору,  $k > 1$  — МГД ускорителю); величины  $B$ ,  $\sigma$  и  $k$  в общем случае зависят от значения текущей координаты.

При произвольном законе изменения площади поперечного сечения канала  $F(x)$  решение системы уравнений (1)–(6) осуществляется численным способом. Для упрощения решения системы (1)–(6) введем в рассмотрение функцию  $\xi(x)$  следующим образом:

$$\frac{dp}{dx} = \xi(x)(1 - k)^2 \sigma B^2 v. \quad (7)$$

Так как  $p(x)$  и  $v(x)$  являются решением системы (1)–(6) и тем самым зависят от закона изменения  $F(x)$ , то функция  $\xi(x)$  в соотношении (7) зависит функционально от  $F(x)$ . Введение функции  $\xi(x)$  соотношением (7) дает возможность получить аналитическое решение системы уравнений. Считая функцию  $\xi(x)$  заданной, находим решение системы уравнений (2)–(7) и затем определяем  $F(x)$  с помощью соотношения (1). Условие совместимости системы (1)–(6) и уравнения (7) накладывает на функцию  $\xi(x)$  определенные ограничения, которые зависят от типа выбранной функции, в частности, для  $\xi = \text{const}$  ограничение на диапазон возможных значений будет определено ниже (см. (17)).

Преобразуем систему уравнений (2)–(7) к более удобному для решения виду. Для этого подставим (7) и (5) в уравнение (2) и после несложных преобразований получим

$$\frac{dp}{dx} + \rho \frac{\xi \cdot (1 - k)}{1 + \xi \cdot (1 - k)} \frac{d(v^2/2)}{dx} = 0. \quad (8)$$

Подставив в уравнение (3) соотношения (6), (7) с использованием уравнения (8), получим

$$\frac{dh}{dx} + \frac{(1 + \xi)(1 - k)}{1 + \xi \cdot (1 - k)} \frac{d(v^2/2)}{dx} = 0. \quad (9)$$

И наконец, из уравнений (8) и (9) получаем

$$\frac{dp}{dx} + \rho \frac{\xi}{1 + \xi} \frac{dh}{dx} = 0. \quad (10)$$

Система уравнений (4), (7), (9) и (10) с граничным условием  $\rho(0) = \rho_0$ ,  $T(0) = T_0$ ,  $p(0) = p_0$ ,  $v(0) = v_0$  разрешима для произвольной зависимости функций  $\xi$ ,  $k$ ,  $\sigma$  и  $B$  от текущей координаты с учетом того, что  $h(T) = h_0 + S_{T_0}^T c_p dT'$  ( $c_p$  — удельная теплоемкость при постоянном давлении).

При  $k = \text{const}$  и  $\xi = \text{const}$  полученная система уравнений имеет аналитическое решение. Несмотря на то что такое приближение существенно ограничивает множество возможных решений, оно представляет несомненный интерес, так как широко распространенные режимы течения  $p = \text{const}$ ,  $T = \text{const}$ ,  $v = \text{const}$  являются частными случаями рассматриваемого режима с  $\xi = \text{const}$ . Действительно, из уравнения (7) следует, что  $\xi = 0$  отвечает режиму  $p = \text{const}$ . Из уравнения (9) следует, что  $\xi = -1$  соответствует режиму  $h = \text{const}$  или, что тоже самое,  $T = \text{const}$  (так как  $dh/dx = c_p dT/dx$ ), а  $\xi = -1/(1 - k)$  описывает режим  $v = \text{const}$ . Значению  $\xi = \gamma - 1$  отвечает режим  $\rho = \text{const}$  ( $\gamma$  — показатель адиабаты).

Приближение  $\xi = \text{const}$  и  $k = \text{const}$  предписывает, как это следует из рассматриваемой системы, монотонное изменение параметров течения по длине канала. Рассмотрением такого типа течений мы и ограничимся в данной работе.

При  $\xi = \text{const}$  в уравнении (10) зависимость параметров от координаты  $x$  становится неявной. Принимая во внимание, что  $dh/dx = c_p dT/dx$ , а также используя уравнение состояния (4), приводим уравнение (10) к виду

$$\frac{dp}{p} - \frac{c_p}{R} \frac{\xi}{1 + \xi} \frac{dT}{T} = 0. \quad (11)$$

В случае когда  $c_p$  представима в виде произведения функции от температуры на функцию от давления, переменные в полученном уравнении разделяются. В частности, когда  $c_p = \text{const}$ , из (11) получаем простую связь между  $p$  и  $T$

$$\frac{p}{p_0} = \left( \frac{T}{T_0} \right)^{\frac{\xi}{\gamma - 1} \frac{c_p}{R}} \quad (12)$$

Уравнение (9) также приводит к неявной форме зависимости параметров течения от координаты. Действительно, из (9) следует

$$h(x) + \frac{(1 + \xi)(1 - k)}{1 + \xi \cdot (1 - k)} \frac{v^2(x)}{2} = \text{const}$$

или, используя граничные условия, запишем это соотношение в виде

$$h(x) + \frac{(1 + \xi)(1 - k)}{1 + \xi \cdot (1 - k)} \frac{v^2(x)}{2} = h_0 + \frac{(1 + \xi)(1 - k)}{1 + \xi \cdot (1 - k)} \frac{v_0^2}{2}. \quad (13)$$

Примечательно, что (13) имеет вид закона сохранения. Тем самым величина

$$h + \frac{(1 + \xi)(1 - k) v^2}{1 + \xi \cdot (1 - k) 2}$$

является интегралом движения для МГД течений, характеризующихся постоянными значениями  $\xi$  и  $k$ .

Совокупность формул (4), (12) и (13) описывает в принятых предположениях связь между параметрами МГД течения при произвольном значении координаты  $x$ . Для того чтобы получить зависимость параметров течения от величины электроэнергии, вырабатываемой МГД генератором или вкладываемой в течение в случае МГД ускорителя, воспользуемся законом сохранения энергии

$$h_0 + \frac{v_0^2}{2} = h(x) + \frac{v^2(x)}{2} - \varepsilon(x), \quad (14)$$

где  $\varepsilon(x)$  — величина удельной электроэнергии (энергии на единицу массы), выработанной МГД генератором (в этом случае  $\varepsilon < 0$ ) или вложенной в МГД ускоритель ( $\varepsilon > 0$ ) на промежутке  $[0; x]$ . Из формул (14) и (13) нетрудно получить зависимости  $v(\varepsilon(x))$  и  $h(\varepsilon(x))$

$$\frac{v^2}{2} - \frac{v_0^2}{2} = \frac{1 + \xi \cdot (1 - k)}{k} \varepsilon, \quad (15)$$

$$h - h_0 = -(1 + \xi) \frac{1 - k}{k} \varepsilon. \quad (16)$$

Из (15) и (16) виден физический смысл введенного параметра  $\xi$ . Так, из (16) следует, что  $(1 + \xi)$  определяет изменение энтальпии потока, обусловленное наработкой электроэнергии  $\varepsilon$  при заданном коэффициенте нагрузки  $k$ . Условие знакоположительности переменных  $v^2$  и  $h$  накладывает ограничения на пределы возможного изменения параметров. Используя соотношения (15) и (16), получаем

$$-1 - \frac{k}{k-1} \frac{h_0}{\varepsilon} < \xi < -\frac{1}{1-k} + \frac{k}{k-1} \frac{v_0^2}{2\varepsilon}. \quad (17)$$

Отметим, что выражение  $(k-1) \cdot \varepsilon$  в соотношении (17) неотрицательно (при  $k > 1$  величина  $\varepsilon > 0$  и, наоборот, при  $k < 1$  величина  $\varepsilon < 0$ ). В газодинамическом пределе  $k \rightarrow 1$  (МГД взаимодействие отсутствует) из (15)–(17) следует, что изменение параметров течения происходит лишь при  $\xi \rightarrow \pm\infty$ . В этом случае решение (12) описывается адиабатой Пуассона, что соответствует приближению решаемой задачи.

Для расчета параметров течения  $p$ ,  $\rho$ ,  $T$ ,  $v$  и  $\varepsilon$  система полученных уравнений (4), (12), (15) и (16) должна быть дополнена дифференциальным уравнением (7), решение которого устанавливает зависимость параметров течения от координаты. Уравнение (7) с использованием (11) и (12) может быть сведено к удобному для интегрирования виду. Согласно

(11),  $p$  зависит от  $x$  неявно, через зависимость от  $T(x)$ . Это позволяет свести уравнение (7) к виду

$$\frac{dp}{dT} \frac{dT}{dx} = \xi \cdot (1 - k)^2 \cdot \sigma \cdot B^2 \cdot v(T). \quad (18)$$

Когда выражение  $\sigma B^2$  представимо в виде произведения функции от  $T$  на функцию от  $x$  переменные в уравнении (18) разделяются. В частности, когда  $\sigma B^2$  зависит только от  $T$ , решение уравнения (18), полученное с учетом определения  $dp/dT$  из решения уравнения (11), имеет вид

$$x(T) = \frac{1}{\xi \cdot (1 - k)^2} \int_{T_0}^T \frac{dp/dT'}{\sigma B^2 v(T')} dT', \quad (19)$$

где

$$\frac{dp}{dT} = \frac{\xi}{1 + \xi} p_0 \frac{c_p}{RT} \exp \left( \int_{T_0}^T \frac{\xi}{1 + \xi} \frac{c_p}{RT'} dT' \right),$$

$$v(T) = \sqrt{v_0^2 - 2 \frac{1 + \xi \cdot (1 - k)}{(1 + \xi)(1 - k)} (h(T) - h_0)}.$$

При  $\xi \rightarrow -1$   $T \rightarrow T_0$  и особенность подинтегрального выражения (19) интегрируема, в чем можно убедиться, осуществляя предельный переход  $\xi \rightarrow -1$  с использованием соотношения (16) для замены в (19) зависимости от  $T$  на зависимость от  $\varepsilon$ .

Расчет параметров течения по длине МГД канала при отсутствии дополнительных внешних условий рекомендуется проводить в следующей очередности. Из формулы (19) при выбранных значениях параметров  $k$  и  $\xi$  определяется зависимость  $T(x)$ , используя которую с помощью соотношения (12) получаем  $p(x)$ , а затем из уравнения состояния (4) определяем  $\rho(x)$ . Скорость течения  $v(x)$  определяем из соотношения (13). Профиль канала  $F(x)$ , соответствующий выбранному режиму течения, определяется из закона сохранения массы (1) с использованием найденных зависимостей  $v(x)$  и  $\rho(x)$ . Величину удельной электроэнергии, вырабатываемой МГД генератором,  $\varepsilon$  определяем из соотношения (15) или, что равнозначно, из (16).

Для МГД ускорителя рассчитанная по указанному алгоритму функция  $\varepsilon(x)$  будет определять величину удельной электроэнергии, которую необходимо вложить в МГД течение на промежутке  $[0; x]$  для обеспечения выбранного режима течения.

На рис. 1 представлена зависимость параметров течения на выходе МГД генератора с заданным параметром взаимодействия  $S_v = (\sigma_0 B^2 L) / (\rho_0 v_0)$  (где  $L$  — длина МГД генератора) от величины  $\xi$  при значении числа Маха на входе МГД канала  $M_0 = 0.8$ . Рассматриваются значения  $\xi \leq 0$ , так как  $\xi > 0$  соответствует режиму течения с положительным градиентом давления, характеризующимся наличием условий для отрыва пограничного слоя. В расчетах  $c_p$  полагалась постоянной.

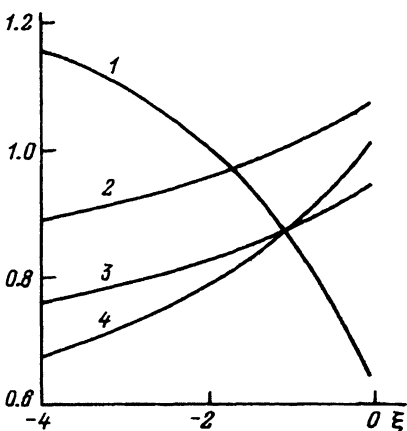


Рис. 1. Зависимость параметров течения на выходе МГД генератора от параметра  $\xi$  при значениях  $\gamma = 1.67, k = 0.5$ .

1 —  $v/v_0$ , 2 —  $T/T_0$ , 3 —  $\rho/\rho_0$ , 4 —  $p/p_0$ ;  $S_v = 0.5, M_0 = 0.8$ .

Учитывалась зависимость проводимости от температуры и давления в форме [1]

$$\sigma(T, p) = \sigma_0 \cdot \left(\frac{p_0}{p}\right)^{1/2} \cdot \left(\frac{T}{T_0}\right)^{3/4} \cdot \exp\left(\alpha \cdot \left(1 - \frac{T_0}{T}\right)\right),$$

где  $\sigma_0 = \sigma(T_0, p_0)$  (в расчетах использовалось значение  $\alpha = 10$ ).

При интегрировании в (19) зависимость  $\sigma$  от давления выражалась через полученную зависимость давления от температуры (12). Из рис. 1 видно, что параметры течения на выходе МГД генератора монотонно меняются при изменении параметра  $\xi$  от  $-4$  до  $0$ . При этом  $T, \rho$  и  $p$  возрастают с ростом  $\xi$ , а  $v$  падает. На рис. 1 представлены относительные величины параметров (приведенные к значению параметров на входе в МГД канал). Так как рассматриваемый режим течения характеризуется монотонным изменением параметров по длине канала, то зависимости, представленные на рис. 1, определяют и характер пространственного изменения параметров. Так, если относительная величина параметра при выбранном  $\xi$  принимает значение меньше единицы, то режим течения сопровождается уменьшением данного параметра по длине канала, при значении больше единицы — возрастанием, а равенство относительного параметра единице отвечает режиму сохранения данного параметра по длине канала. Например, из рис. 1 следует, что режим течения при  $\xi > -1$  сопровождается увеличением статической температуры, а при  $\xi < -1$  — уменьшением. Характер зависимости параметров течения от параметра  $\xi$  одинаков как для дозвукового, так и для сверхзвукового течения. Представленные на рис. 2 зависимости характеризуют изменение параметров течения по длине МГД генератора при двух значениях  $\xi$ .

На рис. 3 представлены рассчитанные зависимости профилей МГД генератора для набора значений параметра  $\xi$ . Из рис. 3 следует, что

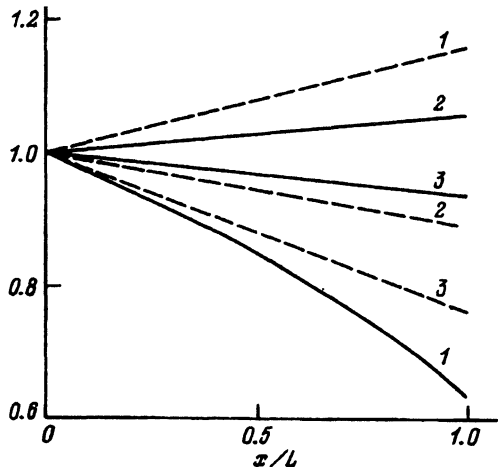


Рис. 2. Изменение параметров течения по длине МГД канала при значениях  $M_0 = 0.8, \gamma = 1.67, k = 0.5, S_v = 0.5$ .

1 —  $v/v_0$ , 2 —  $T/T_0$ , 3 —  $\rho/\rho_0$ ; сплошные кривые —  $\xi = 0$ , штриховые —  $\xi = -4$ .

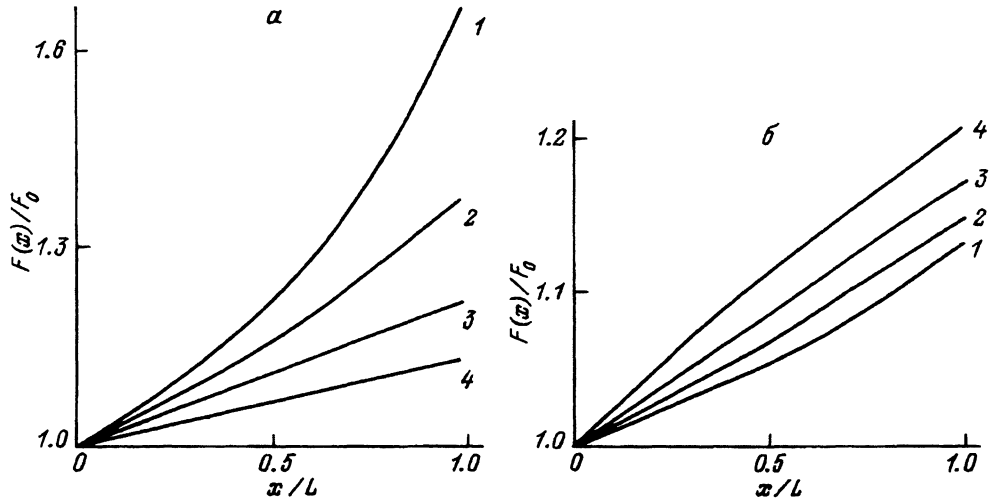


Рис. 3. Зависимость профиля МГД генератора от параметра при значениях  $\gamma = 1.67$ ,  $k = 0.5$ .  
 $\xi$ : 1 — 0, 2 —  $-0.8$ , 3 —  $-2$ , 4 —  $-4$ ;  $M_0$ : а —  $0.8$ , б —  $1.6$ ;  $S_0$ : а —  $0.5$ , б —  $0.1$ .

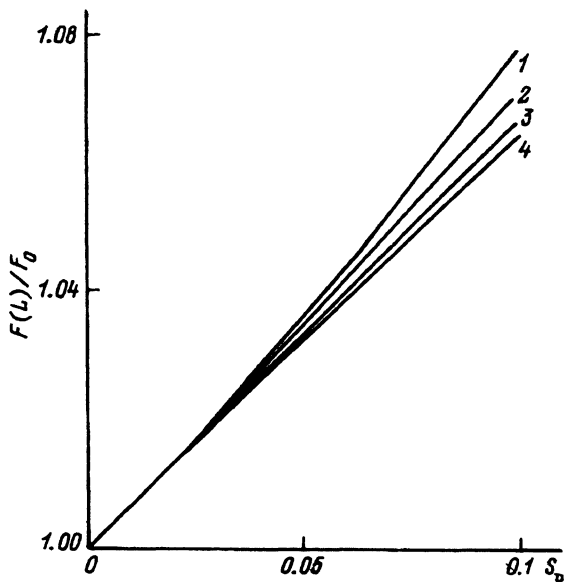


Рис. 4. Зависимость степени расширения МГД канала от параметра взаимодействия  $S_0$  при значениях  $M_0 = 1$ ,  $\gamma = 1.67$ ,  $k = 0.5$ .  
 $\xi$ : 1 — 0, 2 —  $-0.8$ , 3 —  $-2$ , 4 —  $-4$ .

режимам течения с рассматриваемыми параметрами  $k$  и  $\xi$  отвечают монотонно расширяющиеся профили каналов МГД генератора. Причем для дозвукового течения (рис. 3,а) уменьшению  $\xi$  отвечает уменьшение степени раскрытия канала. Для сверхзвукового течения (рис. 3,б) характер зависимости степени раскрытия канала от  $\xi$  меняется на противоположный. В том случае, когда скорость течения совпадает со скоростью звука (рис. 4), при малых значениях параметра взаимодействия зависимость профиля МГД генератора от параметра  $\xi$  исчезает. Таким образом, при  $M_0 \lambda = 1$  одному профилю МГД генератора отвечает множество режимов течения. Следовательно, решение системы при  $M = 1$  неустойчиво [3].

Переход через особую точку системы уравнений (1)–(6)  $M = 1$ , согласно [1], обычно сопровождается запирианием канала. Соотношение (13) позволяет определить критическое значение параметра  $\xi = \xi^*$ , при котором реализуется режим течения  $M = \text{const}$  (с учетом связи  $v^2 = (\gamma - 1)c_p T M^2$ ),

$$\xi^* = \left( -1 + \frac{k}{1 + \frac{\gamma-1}{2}(1-k) \cdot M^2} \right)^{-1}.$$

Число Маха уменьшается по длине канала при  $\xi > \xi^*$ , следовательно, только в этом диапазоне изменения параметра  $\xi$  сверхзвуковое течение может сопровождаться запирианием канала.

Проведенный анализ показывает наглядность и информативность полученного аналитического решения, которое не только позволяет элементарно рассчитывать основные параметры МГД течения, но и дает возможность корректно сформулировать оптимизационную задачу как для изолированной МГД системы, так и для случая, когда МГД система входит в состав сложной системы (что накладывает ряд дополнительных ограничений на параметры МГД течения). Примеры использования полученного решения в задачах такого типа будут рассмотрены в следующей работе.

#### Список литературы

- [1] Бреев В.В., Губарев А.В., Панченко В.П. Сверхзвуковые МГД генераторы. М.: Энергоатомиздат, 1988. 240 с.
- [2] Васенин И.М., Глазунов А.А., Губарев А.В. и др. Препринт ИАЭ. № 5014/12. М., 1990. 44 с.
- [3] Корн Г., Корн Т. Справочник по математике. М.: Наука, 1978. 832 с.

Поступило в Редакцию  
10 января 1992 г.